

Principe : une variété ressemble localement à un ouvert de \mathbb{R}^m .
du point de vue du calcul différentiel.

Soit M une variété de dimension m , de classe \mathcal{C}^k ($k \geq 1$), $p \in M$

Def (Espace tangent) $T_p = \{ (I, \gamma) ; I : \text{intervalle ouvert de } \mathbb{R}, \text{ contenant } 0, \gamma \in \mathcal{C}^1(I, M), \gamma(0) = p \}$

$\gamma : \mathbb{R} \rightarrow U \subset \mathbb{R}^m$
carte locale

$\gamma : I \rightarrow U \subset \mathbb{R}^m$ est \mathcal{C}^1

$$(I_1, \gamma_1) \sim (I_2, \gamma_2) \Leftrightarrow \frac{d(\gamma_1 \circ \gamma_2^{-1})}{dt}(0) = \frac{d(\gamma_2 \circ \gamma_1^{-1})}{dt}(0)$$

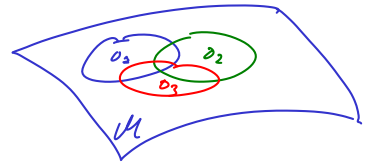
$$T_p M = T_p / \sim$$

$\rightarrow T_p M$: espace vectoriel de dimension m .

$$d\alpha_p : T_p M \rightarrow \mathbb{R}^m$$

$$\frac{d\gamma}{dt}(0) = [\dot{\gamma}] \mapsto \frac{d(\gamma \circ \gamma^{-1})}{dt}(0)$$

cela définit $\frac{d\gamma}{dt}(0)$

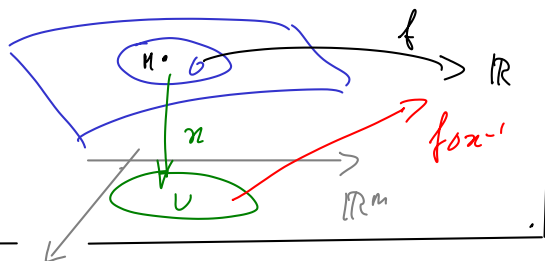


Application différentiable $f : M \rightarrow \mathbb{R}$

Def si M est \mathcal{C}^k , $k \geq 1$, si $j \leq k$, f est \mathcal{C}^j si

$\forall \alpha : \mathbb{R} \rightarrow U$ (carte locale),

$$f \circ \alpha^{-1} : U \rightarrow \mathbb{R} \text{ est } \mathcal{C}^j$$



si $p \in M$

$\forall (I, \gamma) \in T_p$,

$$df_p : T_p M \rightarrow \mathbb{R}$$

$$df_p([\dot{\gamma}]) := \frac{d(f \circ \gamma)}{dt}(0)$$

$$\Leftrightarrow df_p\left(\frac{d\gamma}{dt}(0)\right) = \frac{d(f \circ \gamma)}{dt}(0)$$

$$\text{Conséquence : } df_p\left(\frac{d\gamma}{dt}(0)\right) = \frac{d(f \circ \gamma)}{dt}(0) = \sum_{j=1}^m \frac{\partial (f \circ \gamma)}{\partial x^j}(\gamma(0)) \frac{d(\gamma^j \circ \gamma)}{dt}(0)$$

$$df_n \left(\frac{dt}{dt}(c) \right) = \sum_{j=1}^m \frac{\partial (f \circ \alpha^{-1})}{\partial x^j} (\alpha \circ t(c)) \, dx_n^j(c) \left(\cdot \frac{dt}{dt}(c) \right) \quad \forall (t, c)$$

$$\Rightarrow \forall v \in T_n M, \quad \boxed{df_n(v) = \sum_{j=1}^m \frac{\partial (f \circ \alpha^{-1})}{\partial x^j} (\alpha(n)) \, dx_n^j(v)} \quad \text{dans } \mathbb{R}$$

$\begin{array}{c} \parallel \\ \frac{dt}{dt}(c) \\ \parallel \\ c(c) \end{array} \quad \begin{array}{c} \parallel \\ \in T_n M \end{array} \quad \begin{array}{c} \parallel \\ \in T_n^* M \end{array} \quad \begin{array}{c} \parallel \\ \in T_n M \end{array}$

$$\Rightarrow \boxed{df_n = \sum_{j=1}^m \frac{\partial (f \circ \alpha^{-1})}{\partial x^j} (\alpha(n)) \, dx_n^j} \quad \text{dans } T_n^* M$$

Observation : $(dx_n^1, dx_n^2, \dots, dx_n^m)$: base de $T_n^* M$.

Souvent, on omet d'écrire $M \rightarrow (dx^1, \dots, dx^m)$

(x^1, \dots, x^m) : composantes d'une carte locale, appelées aussi coordonnées locales

Remarque : On note $(\frac{\partial}{\partial x^1}, \dots, \frac{\partial}{\partial x^m})$ la base de $T_n M$ dual de (dx^1, \dots, dx^m) .

Notation bien fondée

Dans un ouvert $U \subset \mathbb{R}^m$, soit $\mathcal{E}^1(U, \mathbb{R})$

Proposition \mathcal{E}^1 -espace des opérateurs différentiels d'ordre 1 agissant sur $\mathcal{E}^1(U, \mathbb{R})$ s'identifie à l'espace des champs de vecteurs $\mathcal{E}^0(U, \mathbb{R}^m)$

Def Opérateur différentiel d'ordre 1 agissant sur $\mathcal{E}^1(U, \mathbb{R})$:

$$D : \mathcal{E}^1(U, \mathbb{R}) \rightarrow \mathcal{E}^0(U, \mathbb{R}) \quad \text{opérateur linéaire}$$

$$\boxed{D(fg) = (Df)g + f(Dg)} \quad (\text{règle de Leibniz})$$

Preuve (sans faute) si $X \in \mathcal{E}^0(U, \mathbb{R}^m)$ on lui associe

$$D_X : f \mapsto df(X) = \sum_{j=1}^m \frac{\partial f}{\partial x^j} X^j.$$

Proposition Ce résultat s'étend sur les variétés (ou les ouverts $O \subset M$)

$$\begin{aligned} \{ \text{Opérateurs } : D : \mathcal{E}^1(O) \rightarrow \mathcal{E}^0(O) \mid D(fg) = (Df)g + f(Dg) \} \\ = \{ \text{Champs de vecteurs } \mathcal{E}^0 \text{ sur } O \} \end{aligned}$$

Exemple $\alpha: O \rightarrow U$ carte locale

$$D_j: \mathcal{E}^1(O) \rightarrow \mathcal{E}^0(O)$$

$$f \mapsto \frac{\partial (f \circ \alpha^{-1})}{\partial x^j} \circ \alpha$$

Satisfait $D(fg) = (Df)g + fDg$

$$\left[(D_j f)(n) = \frac{\partial (f \circ \alpha^{-1})}{\partial x^j} (\alpha(n)) \quad , \forall n \in O \right]$$

$$D_j = \frac{\partial}{\partial x^j} \rightarrow \text{Notation} \quad \frac{\partial}{\partial x^j} f = \frac{\partial (f \circ \alpha^{-1})}{\partial x^j} \circ \alpha$$

Donnée \mathcal{M}

Champ de vecteur X : associer à chaque point $n \in O$, un vecteur $X(n) \in T_n \mathcal{M}$ sur O

1-forme α sur O : associer à chaque $n \in O$, un $\alpha_n \in T_n^* \mathcal{M}$.

2-forme β sur O : associer à chaque $n \in O$, $\beta_n \in \Lambda^2 T_n^* \mathcal{M}$

$$\Lambda^2 T_n^* \mathcal{M} = \left\{ \begin{array}{l} \text{Applications bilinéaires alternées} \\ T_n \mathcal{M} \times T_n \mathcal{M} \rightarrow \mathbb{R} \\ \text{"} \\ \text{(antisymétriques)} \end{array} \right\}$$

Souci: ça ressemble à une application de \mathcal{M} vers quelque chose, mais ce quelque chose dépend du point.

Malgré tout on peut définir, sur une variété de classe \mathcal{C}^k ,

a) Champs de vecteurs \mathcal{E}^j ($j \leq k-1$) si X : champ de vecteur sur O et $\alpha: O \rightarrow U \subset \mathbb{R}^m$, on définit $\alpha_* X: U \rightarrow \mathbb{R}^m$. (implicitement)

$\forall n \in \mathcal{M}$,

$$\boxed{\alpha_* X(\underbrace{\alpha(n)}_{\in U}) := d\alpha_n(X(n))} \quad ((\alpha_* X) \circ \alpha: O \rightarrow \mathbb{R}^m)$$

Alors X est \mathcal{E}^j si $\alpha_* X \in \mathcal{E}^j(U, \mathbb{R}^m)$

b) 1-Forme \mathcal{E}^j ($j \leq k-1$) α : i -forme sur O

on définit $(\alpha^{-1})^* \alpha: U \rightarrow (\mathbb{R}^m)^*$

$\forall n \in \mathcal{M}, \forall v \in T_n \mathcal{M}$,

$$\boxed{\left((\alpha^{-1})^* \alpha \right)_{\underbrace{\alpha(n)}_{\in U}} (d\alpha_n(v)) = \alpha_n(v)}$$

Alors α est \mathcal{E}^j si $(\pi^{-1})^* \alpha$ est \mathcal{E}^j .

c) 2-forme β sur \mathcal{O} . $\rightarrow (\pi^{-1})^* \beta : U \rightarrow \mathbb{R}^2(\mathbb{R}^m)^*$

$$\forall M \in \mathcal{M}, \forall v_1, v_2 \in T_n \mathcal{M}, \quad \left[(\pi^{-1})^* \beta \right]_{\pi(n)} (d\pi_n(v_1), d\pi_n(v_2)) = \alpha_n(v_1, v_2)$$

Alors β \mathcal{E}^j (\Leftrightarrow) $(\pi^{-1})^* \beta$ est \mathcal{E}^j .

Def Fibre tangent Soit \mathcal{M} une variété de classe \mathcal{E}^k ($k \geq 1$), de dimension m

Comme ensemble, la fibre tangent à \mathcal{M} est l'ensemble

$$T\mathcal{M} = \bigcup_{n \in \mathcal{M}} \{n\} \times T_n \mathcal{M} \simeq \bigcup_{n \in \mathcal{M}} T_n \mathcal{M}$$

Comme variété, $T\mathcal{M}$ est une variété de classe \mathcal{E}^{k-1} , de dimension $2m$.

$$\text{A tout atlas } \left(\underbrace{D_i, U_i, \pi_i}_{\text{sur } \mathcal{M}} \right)_{i \in I} \quad \left| \begin{array}{l} D_i \text{ ouvert } \subset \mathcal{M} \\ U_i \text{ } \subset \mathbb{R}^m \\ \pi_i : D_i \rightarrow U_i \end{array} \right.$$

j'associe un atlas sur $T\mathcal{M}$ $(T D_i, U_i \times \mathbb{R}^m, T \pi_i)_{i \in I}$

$$\text{Ici } T D_i = \bigcup_{n \in D_i} \{n\} \times T_n \mathcal{M}$$

$$T \pi_i : T D_i \rightarrow U_i \times \mathbb{R}^m \quad v \in T_n \mathcal{M}$$

$$(n, v) \mapsto (\pi_i(n), d\pi_i(v))$$

C'est une bijection.

Structure de variété : supposons que, sur \mathcal{O} ($= \mathcal{O}_i \cap \mathcal{O}_j$) on ait

$$\text{deux cartes locales } \begin{array}{ccc} \pi : \mathcal{O} \rightarrow U, & \gamma : \mathcal{O} \rightarrow V & \text{et } \boxed{\gamma = \varphi \circ \pi} \\ \downarrow & & \downarrow \\ T\pi : T\mathcal{O} \rightarrow U \times \mathbb{R}^m & & T\gamma : T\mathcal{O} \rightarrow V \times \mathbb{R}^m. \end{array} \quad \varphi : \mathcal{E}^k \text{ difféo.}$$

$$\begin{aligned} T\gamma(M, v) &= (\gamma(v), d\gamma_n(v)) = (\varphi \circ \pi(n), d(\varphi \circ \pi)_n(v)) \\ &= (\varphi(\pi(n)), d\varphi_{\pi(n)} \circ d\pi_n(v)) \\ &= (\varphi, d\varphi_{\pi(n)}) \circ (\pi(n), d\pi_n(v)) = (\varphi, d\varphi_{\pi(n)}) (T\pi(n, v)) \end{aligned}$$

$$T\mathcal{M} = \left(\underbrace{\mathcal{M}}_{\mathbb{R}^k} , \underbrace{d\mathcal{M}}_{\mathbb{R}^{k-1}} \right) \text{ : changement sur } T\mathcal{M}.$$

Fibré cotangent De même, $T^*\mathcal{M} = \bigcup_{M \in \mathcal{M}} \{M\} \times T^*_M \mathcal{M}$ a une structure de variété \mathbb{R}^{2k-1} .

$$\mathbb{R}^2 T^*\mathcal{M} = \bigcup_{M \in \mathcal{M}} \{M\} \times \mathbb{R}^2 T^*_M \mathcal{M}.$$

Ce sont des exemples de fibrés vectoriels au-dessus de \mathcal{M} .

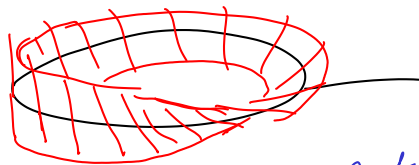
(Fibré : paire $(\mathcal{F}, \mathcal{M})$ de deux variétés, $\dim \mathcal{F} \geq \dim \mathcal{M}$ avec une submersion $\pi: \mathcal{F} \rightarrow \mathcal{M}$ surjective)

Fibré vectoriel : $\forall M \in \mathcal{M}$ (variété base), $\pi^{-1}(\{M\})$ (fibré) a une structure d'espace vectoriel qui dépend de façon régulière de M .

"Localement" $\mathcal{F} \simeq \mathcal{M} \times \mathbb{R}^k$ (faux au niveau global)

Suggestion de ce qui peut se passer : ruban de Möbius. (ce n'est pas $S^1 \times \mathbb{R}$)

droite
attachée à chaque
point



courbe fermée.

$$\begin{aligned} &\simeq \text{fibré } \mathcal{F}, \dim \mathcal{F} = 2 \\ &\downarrow \\ &\mathcal{M}, \dim \mathcal{M} = 1 \text{ (cercle)}. \end{aligned}$$

Champ de vecteur X : application

$$\mathcal{M} \rightarrow T\mathcal{M} \text{ telle que } \pi \circ X = \text{id}_{\mathcal{M}}$$

$$\pi: T\mathcal{M} \rightarrow \mathcal{M} \text{ "projection"}$$

$$(M, v) \mapsto M \text{ fibré (cas particulier d'une submersion).}$$

$$\left(M \xrightarrow{X} (M, X(M)) \xrightarrow{\pi} (M) \right)$$

(Même chose pour les formes $\alpha: \mathcal{M} \rightarrow T^*\mathcal{M}$ telle que $\pi \circ \alpha = \text{Id}_{\mathcal{M}}$)

Def Si \mathcal{F} est un fibré vectoriel au-dessus de \mathcal{M} ($\pi: \mathcal{F} \rightarrow \mathcal{M}$)

Une application $S: \mathcal{M} \rightarrow \mathcal{F}$ telle que $\pi \circ S = \text{Id}_{\mathcal{M}}$ s'appelle une section de \mathcal{F} .

Exemple : un champ de vecteur sur M est une section de TM .

Variétés à bord : les variétés vues jus qu'à présent n'ont pas de bord.

Exemple $D^2 = B^2(0,1) = \{x \in \mathbb{R}^2 \mid \|x\| < 1\}$ (disque unité ouvert)

Dans notions de bord

a) Vu comme ouvert de \mathbb{R}^2 , D^2 a un bord (topologie dans \mathbb{R}^n).



(D^2 : sous-ensemble de \mathbb{R}^2)

$$\overline{D^2} = \{x \in \mathbb{R}^2 \mid \|x\| \leq 1\}$$

$$\partial D^2 = \overline{D^2} \setminus \overset{\circ}{D^2} = \text{cercle unité.}$$

b) Vu comme variété, D^2 a un bord vide (pas de bord).

On regarde D^2 , en "étant coincé à l'intérieur".

Ce qui joue le rôle de bord au sens (a) correspond à un horizon à l'infini au sens (b).

Digression

Disque de Poincaré : on munit D^2 d'une "métrique" (première forme fondamentale)

$$g_{ij}(x) = \frac{\delta_{ij}}{4(1-\|x\|^2)^2} \quad (\text{tend vers } \infty \text{ quand } \|x\| \rightarrow 1)$$

Dans cette métrique, le "bord" est à une distance infinie de n'importe quel point dans D^2 .

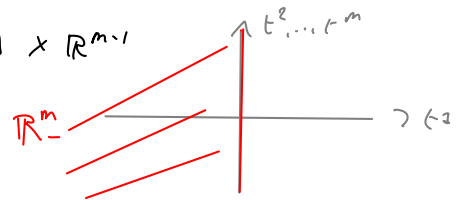
Retour à la notion de variété à bord.

Définition Variété à bord M : espace topologique séparé (oublié la dernière fois)

muni d'un atlas : $(D_i, U_i, \alpha_i)_{i \in I}$ D_i : ouvert dans M

U_i : ouvert dans \mathbb{R}^m_- ou \mathbb{R}^m

$$\mathbb{R}^m_- = \{(t^1, \dots, t^m) \in \mathbb{R}^m \mid t^1 \leq 0\} =]-\infty, 0] \times \mathbb{R}^{m-1}$$



tels que $\forall i, \alpha_i : D_i \rightarrow U_i$ est un homéomorphisme.

Deux types d'ouverts :

① $\forall i, j, D_{ij} = D_i \cap D_j \neq \emptyset$

$\varphi_{ij} = \alpha_j \circ (\alpha_i)^{-1} |_{\alpha_i(D_{ij})}$ est difféomorphisme $\mathbb{R}^m_- \rightarrow \mathbb{R}^m_-$ qui envoie $\partial \mathbb{R}^m_-$ dans $\partial \mathbb{R}^m_-$



Deux types d'ouverts $i \in I = I_{int} \cup I_{\partial M}$

- si $i \in I_{int}$, U_i est un ouvert de \mathbb{R}^m

- si $i \in I_{\partial M}$, U_i est un ouvert de \mathbb{R}^m_- avec $U_i \cap \partial \mathbb{R}^m \neq \emptyset$

$$\Leftrightarrow U_i \cap (\{0\} \times \mathbb{R}^{m-1}) \neq \emptyset$$

(c) On définit le bord ∂M :

$$\partial M = \bigcup_{i \in I_{\partial M}} \pi_i^{-1}(\partial \mathbb{R}^m_-)$$

Alors ∂M est aussi une variété de dimension $m-1$, de classe C^k .

Cartes locales $\pi_i|_{\partial_i \cap \partial M} \rightarrow U_i \cap (\partial \mathbb{R}^m_-)$

Cela forme un atlas

Diffeomorphisme $\varphi_{ij} : \pi_i^{-1} \circ \pi_j|_{\pi_j^{-1}(U_j)}$ C^k :



$$\varphi_{ij}(t) \in \partial \mathbb{R}^m_-$$

Différentiable à gauche par rapport à t_1 .

$$\left| \begin{array}{l} \frac{\partial \varphi}{\partial t^j}(t) \text{ pour } j \geq 2 \text{ existent} \\ \frac{\partial \varphi}{\partial t^1}(t) \text{ : à gauche uniquement.} \end{array} \right.$$

\rightarrow fonctions continues sur $\pi_i^{-1}(U_j)$.

$$S^1 \times S^1 : \begin{array}{ccc} \text{blue circle} & \times & \text{red circle} \\ \wedge & & \wedge \\ \mathbb{R}^2 & & \mathbb{R}^2 \end{array} \cong \text{Torus} \subset \mathbb{R}^3$$

$$S^1 \times S^1 \subset \mathbb{R}^2 \times \mathbb{R}^2 = \mathbb{R}^4.$$

$$\underbrace{\{(a \cos t, a \sin t, c \cos t, c \sin t) \mid 0 \leq t \in \mathbb{R}/2\pi\mathbb{Z}\}}_N \subset S^3_{\sqrt{2}} \subset \mathbb{R}^4 \quad (||\alpha||^2 = 2)$$

\downarrow stereographic projection $S^3_{\sqrt{2}} \setminus \{N\} \rightarrow \mathbb{R}^3$

Books : Gallot, Hulin, Lafontaine.

- "Modern Geometry" , Dubrovini, Novikov, Fomenko (Book 1)
- do Carmo.
- Riemannian Geometry , T. Willmore

Projective manifolds? look to Algebraic geometry (Harris & al.)

- Hodge theory. $\Omega^{2,p} = \{ dz^i \wedge dz^j, dz^i \wedge d\bar{z}^j, d\bar{z}^i \wedge d\bar{z}^j \}$



Complex structures on manifold.

See the book of Willmore + Hodge conjecture? + Algebraic geometry
 (Book of Claire Voisin)
 + PDE analysis on manifolds (more general)

- Hodge operator : makes sense on real manifolds (more general)

Riem Metric & orientation \longrightarrow $\star : \Omega^p \longrightarrow \Omega^{m-p}$